

## ПЛОСКИЙ ИЗГИБ КОНСОЛЬНОЙ БАЛКИ С УЧЕТОМ ФИЗИЧЕСКОЙ И ГЕОМЕТРИЧЕСКОЙ НЕЛИНЕЙНОСТЕЙ

Фомин В.М. (Одесская государственная академия строительства и архитектуры, г.Одесса)

Исследуется плоский продольно-поперечный изгиб консольной балки, изготовленной из некоторого материала (в дальнейшем будем именовать его бетоном), армированного стержнями из другого материала, с учетом геометрической и физической нелинейностей, дифференциальные уравнения которого предложены в [1]. При этом предполагается, что основной материал является несимметрично нелинейно упругим (т.е. обладающий различной нелинейной упругостью в сжатой и растянутой зонах), а материал арматуры является линейно упругим.

Рассмотрим изгиб армированной консольной балки, находящейся под действием двух сил  $F_1$  и  $F_2$  (рис.1). Поперечное сечение балки представлено на рис.2. В статье [1] угол поворота  $\varphi(s)$  поперечного сечения балки, абсцисса которого в недеформированном состоянии балки равна  $s$ , представлен в следующем виде:

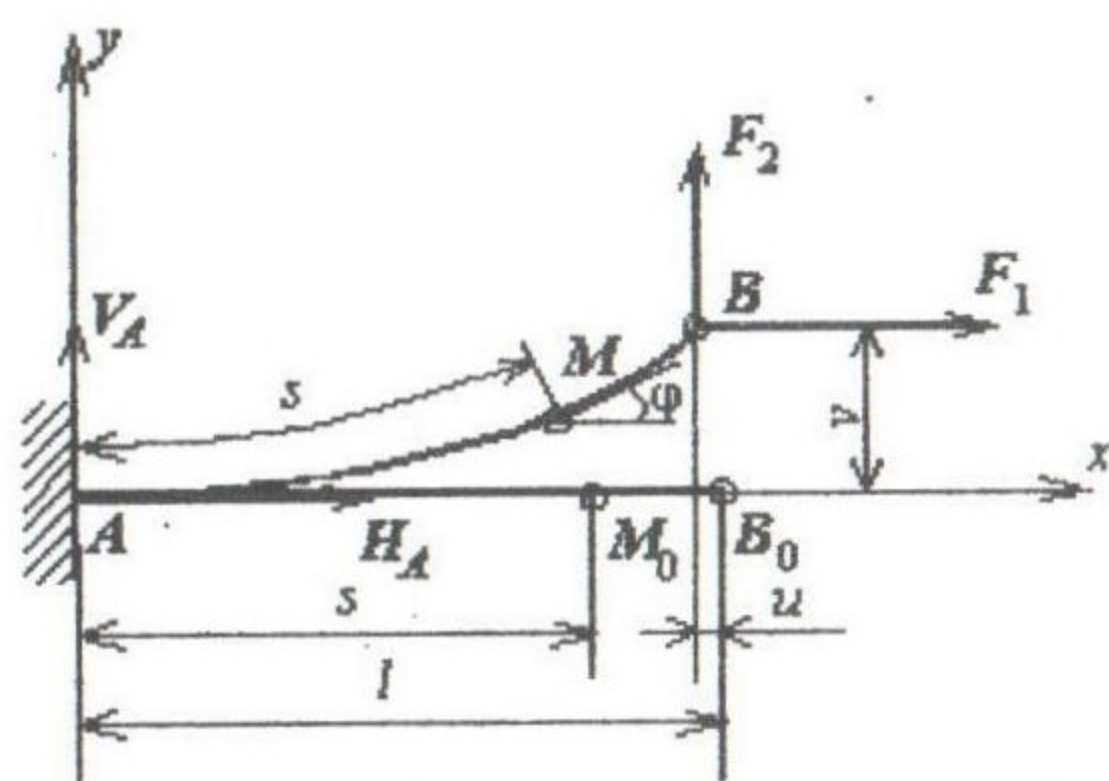


Рис.1

под действием двух сил  $F_1$  и  $F_2$  (рис.1). Поперечное сечение балки представлено на рис.2. В статье [1] угол поворота  $\varphi(s)$  поперечного сечения балки, абсцисса которого в недеформированном состоянии балки равна  $s$ , представлен в следующем виде:

$$\varphi(s) = \varphi^{[0]}(s) + \varphi^{[1]}(s), \quad (1)$$

причем первое приближение  $\varphi^{[0]}(s)$  определяется из дифференциально-

го уравнения

$$H \frac{d^2 \varphi^{[0]}}{ds^2} + (H_A \sin \varphi^{[0]} - V_A \cos \varphi^{[0]}) \left[ 1 - D \frac{d\varphi^{[0]}}{ds} \right] = 0, \quad (2)$$

где

$$H = E_1^{[0]} J + E_a (S_1 h_1^2 + S_2 h_2^2) - \frac{E_a^2}{H_1} (S_1 h_1 - S_2 h_2)^2, \quad (2a)$$

$$D = \frac{E_a}{H_1} (S_1 h_1 - S_2 h_2), \quad H_1 = S E_1^{[0]} + E_a (S_1 + S_2)$$



( $E_1^{[0]} = E^{[0]} / (1 - \nu^2)$ ),  $E^{[0]}$  – модуль линейной упругости бетона,  $\nu$  – коэффициент Пуассона;  $J$  – момент инерции поперечного сечения,  $E_a$  – модуль упругости арматуры;  $S_1$  и  $S_2$  – площади сечений верхней и нижней арматуры,  $S = bh$ ; размеры  $h$ ,  $h_1$  и  $h_2$  показаны на рис.2).

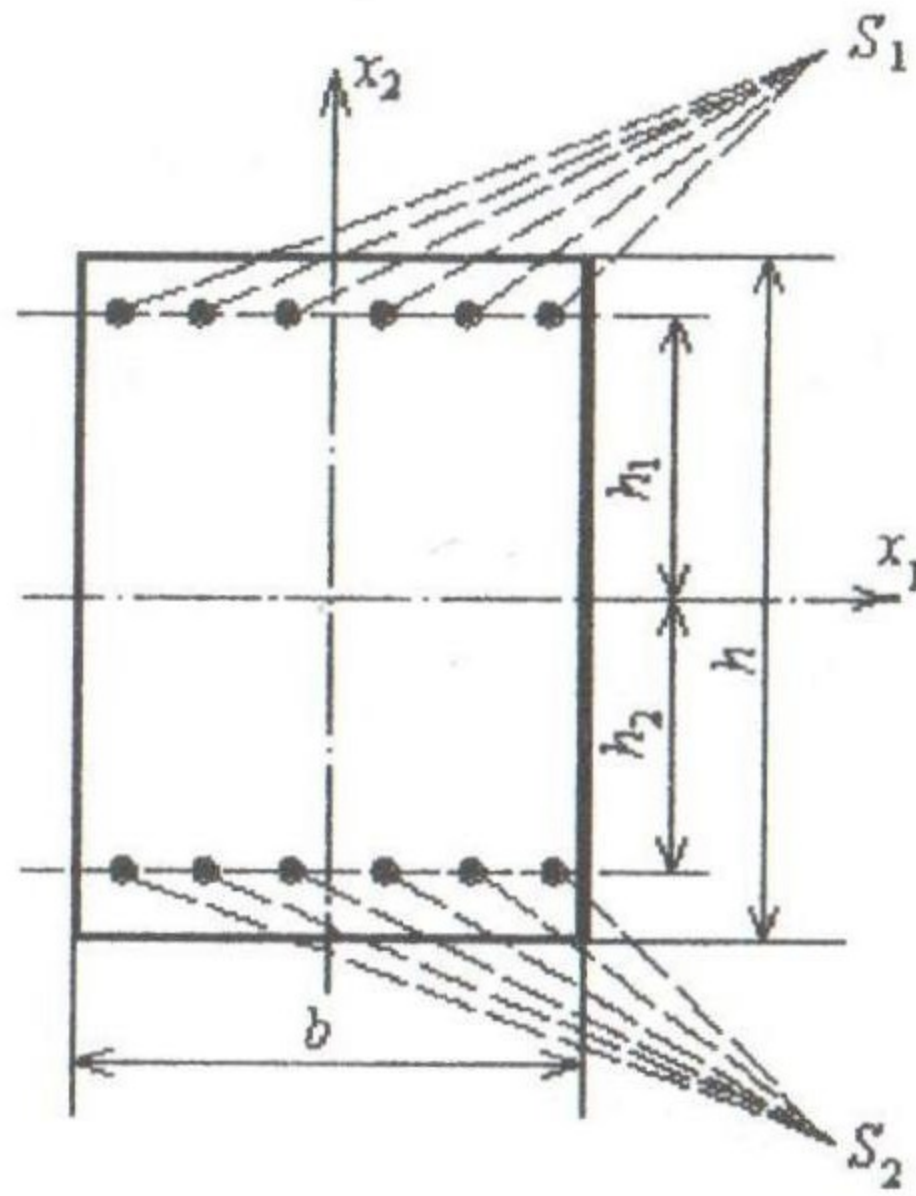


Рис.2

В дальнейшем будем считать, что балка армирована симметрично, т.е., что  $S_1 = S_2$  и  $h_1 = h_2$ . Принимая также во внимание, что  $H_A = -F_1$  и  $V_A = -F_2$ , представляем (2) в следующем виде:

$$\frac{d^2 \varphi^{[0]}}{ds^2} - \frac{1}{l^2} (\alpha \sin \varphi^{[0]} - \beta \cos \varphi^{[0]}) = 0, \quad (3)$$

где  $\alpha = F_1 l^2 / H$ ,  $\beta = F_2 l^2 / H$ . Пользуясь малостью угла  $\varphi^{[0]}$ , представим  $\sin \varphi^{[0]}$  и  $\cos \varphi^{[0]}$  так

$$\begin{aligned} \sin \varphi^{[0]} &= \varphi^{[0]} - (\varphi^{[0]})^3 / 6, \\ \cos \varphi^{[0]} &= 1 - (\varphi^{[0]})^2 / 2, \end{aligned}$$

и будем искать решение уравнения (3) методом последовательных приближений по следующей схеме:

$$\frac{d^2 \varphi_{n+1}^{[0]}}{ds^2} = \frac{1}{l^2} \left\{ \alpha \left[ \varphi_n^{[0]} - \frac{(\varphi_n^{[0]})^3}{6} \right] - \beta \left[ 1 - \frac{(\varphi_n^{[0]})^2}{2} \right] \right\}. \quad (4)$$

Положив  $\varphi_0^{[0]} = 0$ , находим

$$\frac{d^2 \varphi_1^{[0]}}{ds^2} = -\frac{\beta}{l^2}. \quad (5)$$

Дважды интегрируя по  $s$ , получаем

$$\frac{d\varphi_1^{[0]}}{ds} = -\frac{\beta}{l^2} s + c_0, \quad \varphi_1^{[0]} = -\frac{\beta}{l^2} \frac{s^2}{2} + c_0 s + c_1. \quad (6)$$

Из граничных условий

$$\varphi(0) = 0, \quad \frac{d\varphi}{ds}(l) = 0 \quad (7)$$

(второе следует из равенства  $M_z(l) = 0$  [2]) находим

$$c_0 = \beta / l, \quad c_1 = 0. \quad (8)$$

Заметим, что величины  $\alpha$  и  $\beta$  малы, в чем можно убедиться на конкретном примере, приведенном ниже. Подставляя  $\varphi_1^{[0]}$  в правую часть (4), дважды интегрируя по  $s$  и ограничиваясь слагаемыми второго по



рядка малости по  $\alpha$  и  $\beta$ , получаем

$$\varphi_2^{[0]} = \sum_{k=0}^4 \Phi_k^{[0]} s^k, \quad (9)$$

где

$$\Phi_2^{[0]} = -\beta / 2l^2, \quad \Phi_3^{[0]} = \alpha\beta / 6l^3, \quad \Phi_4^{[0]} = -\alpha\beta / 24l^4.$$

Коэффициенты  $\Phi_0^{[0]}$  и  $\Phi_1^{[0]}$  определяются из граничных условий (7):

$$\Phi_0^{[0]} = 0, \quad \Phi_1^{[0]} = -\sum_{k=2}^4 k\Phi_k^{[0]} = \frac{\beta(3-\alpha)}{3}. \quad (10)$$

Для составляющей  $\varphi^{[1]}$  второго приближения в (1) в случае симметричного армирования имеем следующее дифференциальное уравнение:

$$H \frac{d^2 \varphi^{[1]}}{ds^2} - (F_1 \cos \varphi^{[1]} + F_2 \sin \varphi^{[1]}) \varphi^{[1]} = -\frac{dM_{3,0}^{[1]}}{ds}. \quad (11)$$

Здесь

$$M_{3,0}^{[1]} = -[D_1 \Delta^+ - b \tilde{E}_1^{[1]**}] \psi^{[0]} + D_2 \Delta^- - b \tilde{E}_1^{[1]*} \varepsilon_s^{[0]}, \quad (12)$$

$$\psi^{[0]} = \frac{d\varphi^{[0]}}{ds}, \quad D_1 = \frac{K_1^{[0]} + E_1^{[0]}}{2K_1^{[0]}} J + 2 \frac{E_a}{K_1^{[0]}} S_1 h_1^2, \quad D_2 = \frac{K_2^{[0]} J}{K_1^{[0]} h},$$

$$K_1^{[0]} = \frac{3K^{[0]} + 4G^{[0]}}{3}, \quad K_2^{[0]} = \frac{3K^{[0]} - 2G^{[0]}}{3}, \quad \tilde{E}_1^{[1]*} =$$

$$= \int_{-h/2}^{h/2} E_1^{[1]} x_2 dx_2, \quad \tilde{E}_1^{[1]**} = \int_{-h/2}^{h/2} E_1^{[1]} x_2^2 dx_2, \quad E_1^{[1]} = K_1^{[1]} - K_2^{[1]} \frac{K_2^{[0]}}{K_1^{[0]}},$$

$$K_1^{[1]} = \frac{3K^{[1]}(\varepsilon_0^{[0]}) + 4G^{[1]}(\gamma_0^{[0]})}{3}, \quad K_2^{[1]} = \frac{3K^{[1]}(\varepsilon_0^{[0]}) - 2G^{[1]}(\gamma_0^{[0]})}{3}, \quad (12a)$$

$$\Delta^+ = K_1^{[1]} \left(\frac{h}{2}\right) \varepsilon_{22}^{[0]} \left(\frac{h}{2}\right) + K_1^{[1]} \left(-\frac{h}{2}\right) \varepsilon_{22}^{[0]} \left(-\frac{h}{2}\right) + K_2^{[1]} \left(\frac{h}{2}\right) \varepsilon_{11}^{[0]} \left(\frac{h}{2}\right) +$$

$$+ K_2^{[1]} \left(-\frac{h}{2}\right) \varepsilon_{11}^{[0]} \left(-\frac{h}{2}\right),$$

$$\Delta^- = K_1^{[1]} \left(\frac{h}{2}\right) \varepsilon_{22}^{[0]} \left(\frac{h}{2}\right) - K_1^{[1]} \left(-\frac{h}{2}\right) \varepsilon_{22}^{[0]} \left(-\frac{h}{2}\right) + K_2^{[1]} \left(\frac{h}{2}\right) \varepsilon_{11}^{[0]} \left(\frac{h}{2}\right) -$$

$$- K_2^{[1]} \left(-\frac{h}{2}\right) \varepsilon_{11}^{[0]} \left(-\frac{h}{2}\right)$$



( $\varepsilon_s^{[0]}$  – продольная относительная деформация оси балки в первом приближении,  $K^{[0]}$  и  $G^{[0]}$  – начальные (т.е. соответствующие линейно упругой деформации) модули объемного сжатия и сдвига бетона,

$\varepsilon_0^{[0]} = [\varepsilon_{11}^{[0]} + \varepsilon_{22}^{[0]} + \varepsilon_{33}^{[0]}] / 3$  – величина среднего удлинения,

$\gamma_0^{[0]} = 2[(\varepsilon_{11}^{[0]})^2 + (\varepsilon_{22}^{[0]})^2 + (\varepsilon_{33}^{[0]})^2 - \varepsilon_{11}^{[0]}\varepsilon_{22}^{[0]} - \varepsilon_{22}^{[0]}\varepsilon_{33}^{[0]} - \varepsilon_{33}^{[0]}\varepsilon_{11}^{[0]} + 3((\varepsilon_{12}^{[0]})^2 + (\varepsilon_{23}^{[0]})^2 + (\varepsilon_{31}^{[0]})^2)]^{1/2} / 3$  – октаэдрическая деформация сдвига,  $\varepsilon_{ij}^{[0]}$  –

элементы тензора конечных деформаций в точках балки, определенные в первом приближении). Величины, стоящие в правых частях равенств (12а), представляют собой функции координаты  $s$  (за исключением  $K_1^{[0]}$  и  $K_2^{[0]}$ , которые являются константами, и  $K_1^{[1]}$  и  $K_2^{[1]}$ , являющихся еще функциями координаты  $x_2$ ), однако, аргумент этих функций указывать не будем, кроме тех случаев, когда этот аргумент принимает определенное значение.

Функции  $K^{[1]}(\varepsilon_0)$  и  $G^{[1]}(\gamma_0)$  фигурируют в следующем представлении секущих объемного модуля упругости и модуля сдвига для нелинейно-упругого материала:

$$K(\varepsilon_0) = K^{[0]} + K^{[1]}(\varepsilon_0), \quad G(\gamma_0) = G^{[0]} + G^{[1]}(\gamma_0). \quad (13)$$

В дальнейшем ограничимся случаем, когда

$$\begin{aligned} K^{[1]}(\varepsilon_0) &= \hat{K}^{[1]+} \varepsilon_0, \quad G^{[1]}(\gamma_0) = \hat{G}^{[1]+} \gamma_0 \quad (\text{при } \varepsilon_{11} \geq 0), \\ K^{[1]}(\varepsilon_0) &= \hat{K}^{[1]-} \varepsilon_0, \quad G^{[1]}(\gamma_0) = \hat{G}^{[1]-} \gamma_0 \quad (\text{при } \varepsilon_{11} < 0) \end{aligned} \quad (14)$$

где  $\hat{K}^{[1]+}$ ,  $\hat{K}^{[1]-}$ ,  $\hat{G}^{[1]+}$ ,  $\hat{G}^{[1]-}$  – постоянные величины [3].

В [1] показано, что

$$\begin{aligned} \varepsilon_{11}^{[0]} &= \varepsilon_s^{[0]} - \left(1 - \frac{K_2^{[0]}}{K_1^{[0]}} \varepsilon_s^{[0]}\right) \psi^{[0]} x_2, \\ \varepsilon_{22}^{[0]} &= \frac{1}{2} [a_3^* d_2^2(x_2) + 2 \frac{K_2^{[0]}}{K_1^{[0]}} (\psi^{[0]} x_2 - \varepsilon_s^{[0]})], \\ \varepsilon_{12}^{[0]} &= -\frac{1}{2} (1 + \varepsilon_s^{[0]}) a_3^{[0]} d_2(x_2), \quad \varepsilon_{33}^{[0]} = \varepsilon_{13}^{[0]} = \varepsilon_{23}^{[0]} = 0. \end{aligned} \quad (15)$$

Здесь

$$\begin{aligned} a_3^* &= (a_3^{[0]})^2, \quad \varepsilon_s^{[0]} = \left[-\frac{3}{20} SK_2^{[0]} a_3^* h^4 + F_1 \cos \varphi^{[0]} + F_2 \sin \varphi^{[0]}\right] / H \\ a_3^{[0]} &= (F_1 \sin \varphi^{[0]} - F_2 \cos \varphi^{[0]}) / H_s, \quad H_l = SE_1^{[0]} + 2E_a S_1, \end{aligned} \quad (16)$$



$$H_s = G^{[0]} b \frac{h^3}{2} + 2G_a d_2(h_1) S_1, \quad d_2(x_2) = \frac{3}{4} h^2 - 3x_2^2$$

( $G_a$  – модуль сдвига арматуры).

Заметим, что  $\varphi^{[0]}$ ,  $\psi^{[0]}$ ,  $a_3^{[0]}$ ,  $a_3^*$  и  $\varepsilon_s^{[0]}$  могут быть представлены так:

$$\begin{aligned} \varphi^{[0]} &= \beta \bar{\varphi}^{[0]}, \quad \psi^{[0]} = \beta \frac{1}{l} \bar{\psi}^{[0]}, \quad a_3^{[0]} = -\beta A_3 \bar{a}_3^{[0]}, \quad a_3^* = \beta^2 A_3^2 \bar{a}_3^*, \\ \varepsilon_s^{[0]} &= \beta \frac{E_{s,1}}{l} \bar{\psi}^{[0]} + \alpha E_{s,2} + \beta^2 (E_{s,2} \bar{\varphi}^{[0]} - E_{s,0} A_3^2 \bar{a}_3^*) \end{aligned} \quad (17)$$

где

$$\begin{aligned} A_3 &= H / l^2 H_s, \quad E_{s,0} = 3S K_2^{[0]} h^4, \quad E_{s,1} = E_a (S_1 h_1 - S_2 h_2), \\ E_{s,2} &= H / l^2 H_l, \quad \bar{\varphi}^{[0]} = (1 - \alpha / 3) \zeta - \zeta^2 / 2 + \alpha \zeta^3 / 6 - \alpha \zeta^4 / 24, \quad (17a) \\ \bar{\psi}^{[0]} &= 1 - \alpha / 3 - \zeta + \alpha \zeta^2 / 2 - \alpha \zeta^3 / 6, \quad \bar{a}_3^{[0]} = 1 - \alpha \bar{\varphi}^{[0]}, \\ \bar{a}_3^* &= (\bar{a}_3^{[0]})^2, \quad \zeta = s / l. \end{aligned}$$

Заметим, что при симметричном армировании  $E_{s,1} = 0$ .

В соответствии с (14) вычисление интегралов при определении величин  $\tilde{E}_1^{[1]*}$  и  $\tilde{E}_1^{[1]**}$  в (12) зависит от координаты  $x_{2,n}$  нейтральной линии в данном сечении, определяемой равенством

$$\varepsilon_{11} = 0. \quad (18)$$

Учитывая (15) записываем это уравнение в следующем виде:

$$\varepsilon_s^{[0]} - x_2 \psi^{[0]} = 0. \quad (19)$$

Принимая во внимание, что балка симметрично армирована, получаем из (19)

$$x_{2,n} = \frac{E_{s,2} l (\alpha + \beta^2 \bar{\varphi}^{[0]})}{\beta \bar{\psi}^{[0]}}. \quad (20)$$

Если рассматривать случай, когда  $\beta^2 \ll |\alpha|$ , то (20) значительно упростится

$$x_{2,n} = \frac{E_{s,2} l \alpha}{\beta \bar{\psi}^{[0]}}. \quad (21)$$

Положение нейтральной линии при  $\alpha > 0$  и  $\beta > 0$  показано на рис.3. В этом случае верхняя зона является зоной сжатия, а нижняя – зоной растяжения.

Координата  $s_n$ , определяющая точку пересечения нейтральной линии с верхней или нижней поверхностью балки, находится из условия  $|x_{2,n}| = h / 2$ . Из (21) следует, что  $\zeta_n = s_n / l$  является корнем уравнения



$$\bar{\psi}^{[0]}(\zeta) = R_0 \left| \frac{\alpha}{\beta} \right|, \quad R_0 = 2 \frac{E_{s,2} l}{h}. \quad (22)$$

Удерживая в разложении функции  $\bar{\psi}^{[0]}(\zeta)$  первые три члена, получим

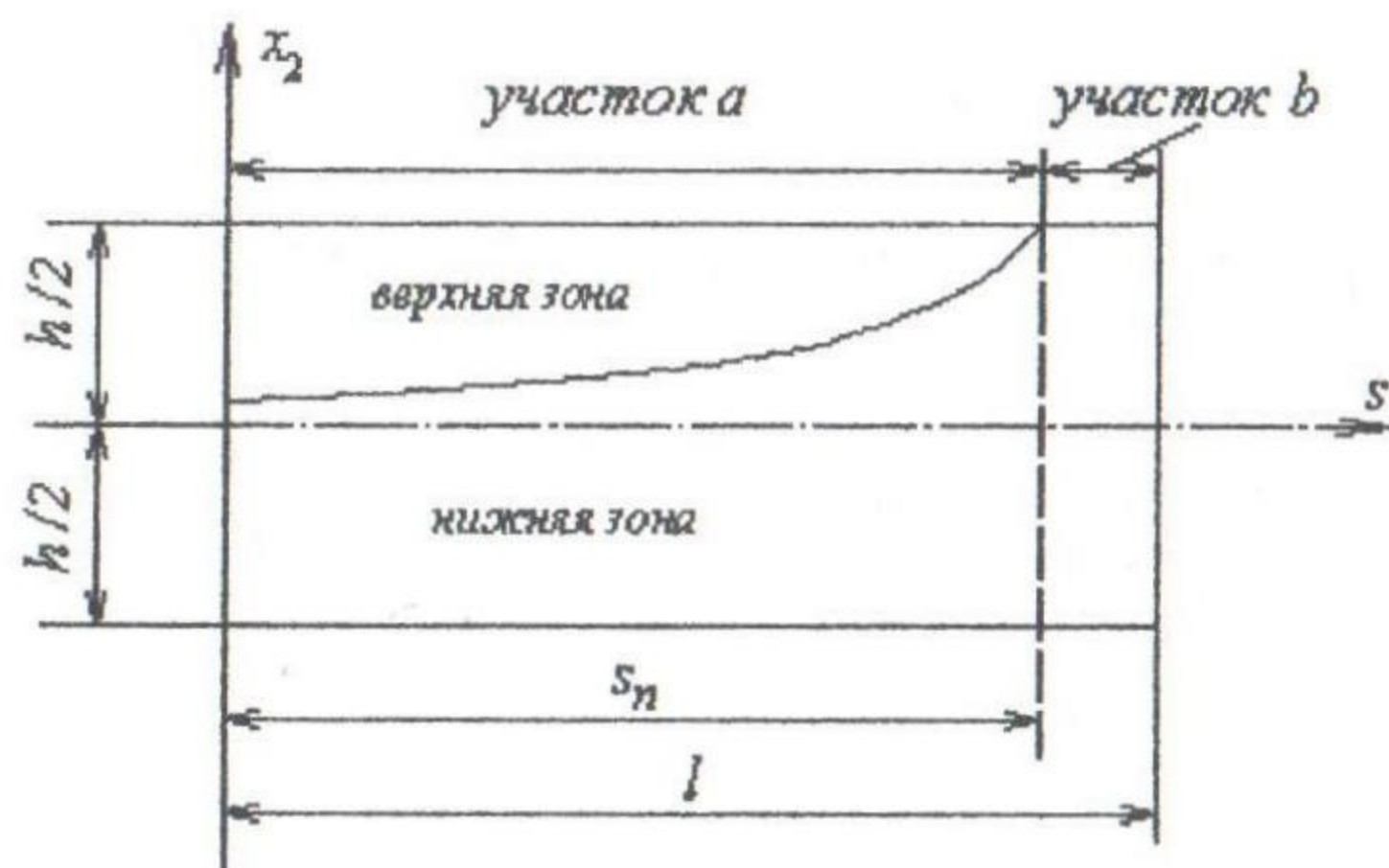


Рис.3

$$s_n = l \left( 1 - \frac{\alpha}{3} - R_0 \left| \frac{\alpha}{\beta} \right| \right). \quad (23)$$

Из (21) и (22) находим

$$x_{2,n} = \frac{h}{2} \cdot \frac{\bar{\psi}^{[0]}(\zeta_n)}{\bar{\psi}^{[0]}} \operatorname{sgn}(\alpha\beta). \quad (24)$$

Назовем отрезок балки  $s \leq s_n$  участком *a*. Он содержит как зону растяжения, так и зону сжатия. Отрезок балки  $s_n < s \leq l$  назовем участком *b*. Он содержит только одну зону, знак которой зависит от знака  $\alpha$ .

Если по формуле (23) получается, что  $s_n \leq 0$  (легко убедиться, что при этом  $|\beta| \leq R_0 |\alpha| / (1 - \alpha/3)$ ), то это означает, что балка состоит только из одного участка *b*. Если же из формулы (23) следует, что  $s_n > l$  (это возможно только при  $\alpha < 0$  и  $|\beta| \geq 3 R_0$ ), то балка состоит только из участка *a*. При  $R_0 |\alpha| / (1 - \alpha/3) < |\beta| < R_0$  балка содержит оба участка.

Учитывая, что  $\alpha_3^* \sim \beta^2$ , и оставляя величины первого порядка малости относительно  $\alpha$  и  $\beta$ , получаем

$$\varepsilon_0^{[0]} = \frac{1}{3} \left( 1 - \frac{K_2^{[0]}}{K_1^{[0]}} \right) (\varepsilon_s^{[0]} - x_2 \psi^{[0]}), \quad \gamma_0^{[0]} = \frac{2}{3} \sqrt{K_3^{[0]}} |\varepsilon_s^{[0]} - x_2 \psi^{[0]}|, \quad (25)$$

где  $K_3^{[0]} = 1 + 2K_2^{[0]} / K_1^{[0]} + 4(K_2^{[0]} / K_1^{[0]})^2$ .

Из (12а), (14) и (25) следует

$$\tilde{E}_1^{[1]*} = \left( 1 - \frac{K_2^{[0]}}{K_1^{[0]}} \right) [\hat{K}^{[1]} \varepsilon_0^{[0]}]^* + \frac{2}{3} \left( 2 + \frac{K_2^{[0]}}{K_1^{[0]}} \right) [\hat{G}^{[1]} \gamma_0^{[0]}]^*. \quad (26)$$

Приняты следующие обозначения:

$$[f(x_2)]^* = \int_{-h/2}^{h/2} f(x_2) x_2 dx_2, \quad [f(x_2)]^{**} = \int_{-h/2}^{h/2} f(x_2) x_2^2 dx_2.$$

Используя (25), находим



$$\begin{aligned} [\widehat{K}^{[1]} \varepsilon_0^{[0]}]^* &= \frac{1}{3} \left(1 - \frac{K_2^{[0]}}{K_1^{[0]}}\right) (\varepsilon_s^{[0]} [\widehat{K}^{[1]}]^* - \psi^{[0]} [\widehat{K}^{[1]}]^{**}), \\ [\widehat{G}^{[1]} \gamma_0^{[0]}]^* &= \frac{2}{3} \sqrt{K_3^{[0]}} (\varepsilon_s^{[0]} [\widehat{G}^{[1]} \operatorname{sgn}(\varepsilon_{11}^{[0]})]^* - \psi^{[0]} [\widehat{G}^{[1]} \operatorname{sgn}(\varepsilon_{11}^{[0]})]^{**}) \end{aligned} \quad (27)$$

Если поперечное сечение находится на участке  $a$ , то

$$\begin{aligned} [\widehat{K}^{[1]}]^* &= \widehat{K}^{[1]d} \int_{-h/2}^{x_{2,n}} x_2 dx_2 + \widehat{K}^{[1]u} \int_{x_{2,n}}^{h/2} x_2 dx_2 = \frac{1}{2} (\widehat{K}^{[1]u} - \widehat{K}^{[1]d}) \left(\frac{h^2}{4} - x_{2,n}^2\right), \\ [\widehat{K}^{[1]}]^{**} &= \widehat{K}^{[1]d} \int_{-h/2}^{x_{2,n}} x_2^2 dx_2 + \widehat{K}^{[1]u} \int_{x_{2,n}}^{h/2} x_2^2 dx_2 = \frac{1}{3} \left[\frac{h^3}{8} (\widehat{K}^{[1]u} + \widehat{K}^{[1]d}) - \right. \\ &\quad \left. - x_{2,n}^3 (\widehat{K}^{[1]u} - \widehat{K}^{[1]d})\right] \end{aligned} \quad (28)$$

( $\widehat{K}^{[1]d}$  и  $\widehat{K}^{[1]u}$  – значения коэффициента  $\widehat{K}^{[1]}$  в нижней и верхней зонах, которые равны  $\widehat{K}^{[1]+}$  или  $\widehat{K}^{[1]-}$  в зависимости от знака  $\varepsilon_{11}^{[0]}$ ; такое же замечание может быть сделано относительно  $\widehat{G}^{[1]d}$  и  $\widehat{G}^{[1]u}$ ).

Аналогично получаем

$$\begin{aligned} [\widehat{G}^{[1]} \operatorname{sgn}(\varepsilon_{11}^{[0]})]^* &= -\frac{\operatorname{sgnd}(\varepsilon_{11}^{[0]})}{2} (\widehat{G}^{[1]u} + \widehat{G}^{[1]d}) \left(\frac{h^2}{4} - x_{2,n}^2\right), \\ [\widehat{G}^{[1]}]^{**} &= -\frac{\operatorname{sgnd}(\varepsilon_{11}^{[0]})}{3} \left[\frac{h^3}{8} (\widehat{G}^{[1]u} - \widehat{G}^{[1]d}) - x_{2,n}^3 (\widehat{G}^{[1]u} + \widehat{G}^{[1]d})\right]. \end{aligned} \quad (29)$$

Здесь  $\operatorname{sgnd}(\varepsilon_{11}^{[0]})$  – знак  $\varepsilon_{11}^{[0]}$  в нижней зоне.

Подставляя (28) и (29) в (26), получаем

$$\begin{aligned} \widetilde{E}_{1,a}^{[1]*} &= E_{1,1,a}^{[1]*} \varepsilon_s^{[0]} - E_{1,2,a}^{[1]*} \psi^{[0]}, \\ E_{1,1,a}^{[1]*} &= \frac{1}{6} \left(1 - \frac{K_2^{[0]}}{K_1^{[0]}}\right)^2 \left(\frac{h^2}{4} - x_{2,n}^2\right) (\widehat{K}^{[1]u} - \widehat{K}^{[1]d}) - \\ &\quad - \frac{2}{9} \operatorname{sgnd}(\varepsilon_{11}^{[0]}) \left(2 + \frac{K_2^{[0]}}{K_1^{[0]}}\right) \sqrt{K_3^{[0]}} \left(\frac{h^2}{4} - x_{2,n}^2\right) (\widehat{G}^{[1]u} + \widehat{G}^{[1]d}), \\ E_{1,2,a}^{[1]*} &= \frac{1}{9} \left(1 - \frac{K_2^{[0]}}{K_1^{[0]}}\right)^2 \left[\frac{h^3}{8} (\widehat{K}^{[1]u} + \widehat{K}^{[1]d}) - x_{2,n}^3 (\widehat{K}^{[1]u} - \widehat{K}^{[1]d})\right] - \\ &\quad - \frac{4}{27} \operatorname{sgnd}(\varepsilon_{11}^{[0]}) \left(2 + \frac{K_2^{[0]}}{K_1^{[0]}}\right) \sqrt{K_3^{[0]}} \left[\frac{h^3}{8} (\widehat{G}^{[1]u} - \widehat{G}^{[1]d}) - x_{2,n}^3 (\widehat{G}^{[1]u} + \widehat{G}^{[1]d})\right] \end{aligned} \quad (30)$$

( $\widetilde{E}_{1,a}^{[1]*}$  – значение  $\widetilde{E}_1^{[1]*}$  на участке  $a$ ).



Если сечение находится на участке  $b$ , то

$$\left[\widehat{K}^{[1]}\right]^* = \widehat{K}^{[1]} \int_{-h/2}^{h/2} x_2 dx_2 = 0, \left[\widehat{K}^{[1]}\right]^{**} = \widehat{K}^{[1]} \int_{-h/2}^{h/2} x_2^2 dx_2 = \frac{1}{12} h^3 \widehat{K}^{[1]}, \quad (31)$$

$$\left[\widehat{G}^{[1]} \operatorname{sgn}(\varepsilon_{11}^{[0]})\right]^* = 0, \left[\widehat{G}^{[1]}\right]^{**} = \frac{\operatorname{sgn}(\varepsilon_{11}^{[0]})}{12} h^3 \widehat{G}^{[1]}$$

и тогда

$$E_{1,1,b}^{[1]*} = 0, E_{1,2,b}^{[1]*} = \frac{1}{36} (1 - K_2^{[0]} / K_1^{[0]})^2 h^3 \widehat{K}^{[1]} + \frac{1}{27} \operatorname{sgn}(\varepsilon_{11}^{[0]}) (2 + K_2^{[0]} / K_1^{[0]}) \sqrt{K_3^{[0]}} h^3 \widehat{G}^{[1]}, \text{ т.е. } \widetilde{E}_{1,b}^{[1]*} = -E_{1,2,b}^{[1]*} \psi^{[0]}. \quad (32)$$

Аналогично находим для участка  $a$

$$\widetilde{E}_{1,a}^{[1]**} = E_{1,1,a}^{[1]**} \varepsilon_s^{[0]} - E_{1,2,a}^{[1]**} \psi^{[0]},$$

$$E_{1,1,a}^{[1]**} = \frac{1}{9} \left(1 - \frac{K_2^{[0]}}{K_1^{[0]}}\right)^2 \left[\frac{h^3}{8} (\widehat{K}^{[1]u} + \widehat{K}^{[1]d}) - x_{2,n}^3 (\widehat{K}^{[1]u} - \widehat{K}^{[1]d})\right] - \quad (33)$$

$$- \frac{4}{27} \operatorname{sgnd}(\varepsilon_{11}^{[0]}) \left(2 + \frac{K_2^{[0]}}{K_1^{[0]}}\right) \sqrt{K_3^{[0]}} \left[\frac{h^3}{8} (\widehat{G}^{[1]u} - \widehat{G}^{[1]d}) - x_{2,n}^3 (\widehat{G}^{[1]u} + \widehat{G}^{[1]d})\right],$$

$$E_{1,2,a}^{[1]**} = \frac{1}{12} \left(1 - \frac{K_2^{[0]}}{K_1^{[0]}}\right)^2 \left(\frac{h^4}{16} - x_{2,n}^4\right) (\widehat{K}^{[1]u} - \widehat{K}^{[1]d}) -$$

$$- \frac{1}{9} \operatorname{sgnd}(\varepsilon_{11}^{[0]}) \left(2 + \frac{K_2^{[0]}}{K_1^{[0]}}\right) \sqrt{K_3^{[0]}} \left(\frac{h^4}{16} - x_{2,n}^4\right) (\widehat{G}^{[1]u} + \widehat{G}^{[1]d}).$$

Используя представление (24) для  $x_{2,n}$ , получаем

$$E_{1,1,a}^{[1]*} = E_{1,1,a,1}^{[1]*} + E_{1,1,a,2}^{[1]*} \left(\frac{\overline{\psi}^{[0]}(\zeta_n)}{\overline{\psi}^{[0]}}\right)^2,$$

$$E_{1,2,a}^{[1]*} = E_{1,2,a,1}^{[1]*} + E_{1,2,a,2}^{[1]*} \left(\frac{\overline{\psi}^{[0]}(\zeta_n)}{\overline{\psi}^{[0]}}\right)^3 \operatorname{sgn}(\alpha\beta),$$

$$E_{1,1,a}^{[1]**} = E_{1,1,a,1}^{[1]**} + E_{1,1,a,2}^{[1]**} \left(\frac{\overline{\psi}^{[0]}(\zeta_n)}{\overline{\psi}^{[0]}}\right)^3 \operatorname{sgn}(\alpha\beta),$$

$$E_{1,2,a}^{[1]**} = E_{1,2,a,1}^{[1]**} + E_{1,2,a,2}^{[1]**} \left(\frac{\overline{\psi}^{[0]}(\zeta_n)}{\overline{\psi}^{[0]}}\right)^4$$

где



$$\begin{aligned}
E_{1,1,a,1}^{[1]*} &= \left[ \frac{1}{6} K_4^{[0]} (\widehat{K}^{[1]u} - \widehat{K}^{[1]d}) - \frac{2}{9} K_5^{[0]} (\widehat{G}^{[1]u} + \widehat{G}^{[1]d}) \right] \frac{h^2}{4}, \\
E_{1,1,a,2}^{[1]*} &= \left[ -\frac{1}{6} K_4^{[0]} (\widehat{K}^{[1]u} - \widehat{K}^{[1]d}) + \frac{2}{9} K_5^{[0]} (\widehat{G}^{[1]u} + \widehat{G}^{[1]d}) \right] \frac{h^2}{4}, \\
E_{1,2,a,1}^{[1]*} &= E_{1,1,a,1}^{[1]**} = \left[ \frac{1}{9} K_4^{[0]} (\widehat{K}^{[1]u} + \widehat{K}^{[1]d}) - \frac{4}{27} K_5^{[0]} (\widehat{G}^{[1]u} - \widehat{G}^{[1]d}) \right] \frac{h^3}{8}, \\
E_{1,2,a,2}^{[1]*} &= E_{1,1,a,2}^{[1]**} = \left[ -\frac{1}{9} K_4^{[0]} (\widehat{K}^{[1]u} - \widehat{K}^{[1]d}) + \frac{4}{27} K_5^{[0]} (\widehat{G}^{[1]u} + \widehat{G}^{[1]d}) \right] \frac{h^3}{8}, \\
E_{1,2,a,1}^{[1]**} &= \left[ \frac{1}{12} K_4^{[0]} (\widehat{K}^{[1]u} - \widehat{K}^{[1]d}) - \frac{1}{9} K_5^{[0]} (\widehat{G}^{[1]u} + \widehat{G}^{[1]d}) \right] \frac{h^4}{16}, \\
E_{1,2,a,2}^{[1]**} &= \left[ -\frac{1}{12} K_4^{[0]} (\widehat{K}^{[1]u} - \widehat{K}^{[1]d}) + \frac{1}{9} K_5^{[0]} (\widehat{G}^{[1]u} + \widehat{G}^{[1]d}) \right] \frac{h^4}{16},
\end{aligned}
\tag{35}$$

$$K_4^{[0]} = (1 - K_2^{[0]} / K_1^{[0]})^2, \quad K_5^{[0]} = \text{sgnd}(\varepsilon_{11}^{[0]}) (2 + K_2^{[0]} / K_1^{[0]}) \sqrt{K_3^{[0]}}.$$

Для участка  $b$  будем иметь

$$E_{1,1,b}^{[1]**} = \frac{1}{36} K_4^{[0]} h^3 \widehat{K}^{[1]} + \frac{1}{27} K_5^{[0]} h^3 \widehat{G}^{[1]}, \quad E_{1,2,b}^{[1]**} = 0, \text{ т.е.} \tag{36}$$

$$\widetilde{E}_{1,b}^{[1]**} = E_{1,1,b}^{[1]**} \varepsilon_s^{[0]}.$$

Из (12а) находим

$$\begin{aligned}
\Delta^\pm &= \frac{1}{3} \{ 3K^{[1]} \left(\frac{h}{2}\right) [\varepsilon_{22}^{[0]} \left(\frac{h}{2}\right) + \varepsilon_{11}^{[0]} \left(\frac{h}{2}\right)] + 2G^{[1]} \left(\frac{h}{2}\right) [2\varepsilon_{22}^{[0]} \left(\frac{h}{2}\right) - \varepsilon_{11}^{[0]} \left(\frac{h}{2}\right)] \pm \\
&\pm 3K^{[1]} \left(-\frac{h}{2}\right) [\varepsilon_{22}^{[0]} \left(-\frac{h}{2}\right) + \varepsilon_{11}^{[0]} \left(-\frac{h}{2}\right)] + 2G^{[1]} \left(-\frac{h}{2}\right) [2\varepsilon_{22}^{[0]} \left(-\frac{h}{2}\right) - \varepsilon_{11}^{[0]} \left(-\frac{h}{2}\right)] \}.
\end{aligned}
\tag{37}$$

Используя (14) получаем для участка  $a$

$$\begin{aligned}
\Delta_a^\pm &= \frac{1}{3} \{ 9\widehat{K}^{[1]u} [\varepsilon_0^{[0]} \left(\frac{h}{2}\right)]^2 \pm 9\widehat{K}^{[1]d} [\varepsilon_0^{[0]} \left(-\frac{h}{2}\right)]^2 + 2\widehat{G}^{[1]u} \gamma_0^{[0]} \left(\frac{h}{2}\right) [2\varepsilon_{22}^{[0]} \left(\frac{h}{2}\right) - \\
&- \varepsilon_{11}^{[0]} \left(\frac{h}{2}\right)] \pm 2\widehat{G}^{[1]d} \gamma_0^{[0]} \left(-\frac{h}{2}\right) [2\varepsilon_{22}^{[0]} \left(-\frac{h}{2}\right) - \varepsilon_{11}^{[0]} \left(-\frac{h}{2}\right)] \}.
\end{aligned}
\tag{38}$$

Из (25) следует

$$\Delta^\pm = (\varepsilon_s^{[0]} - \frac{h}{2} \psi^{[0]})^2 \Delta_1 \pm (\varepsilon_s^{[0]} + \frac{h}{2} \psi^{[0]})^2 \Delta_2, \tag{39}$$

где для участка  $a$



$$\Delta_1 = \Delta_{1,a} = \frac{1}{3}(K_4^{[0]}\widehat{K}^{[1]u} + \frac{4}{3}K_5^{[0]}\widehat{G}^{[1]u}), \quad (39a)$$

$$\Delta_2 = \Delta_{2,a} = \frac{1}{3}(K_4^{[0]}\widehat{K}^{[1]d} - \frac{4}{3}K_5^{[0]}\widehat{G}^{[1]d})$$

и для участка  $b$

$$\Delta_1 = \Delta_2 = \Delta_b = \frac{1}{3}[K_4^{[0]}\widehat{K}^{[1]} - \frac{4}{3}K_5^{[0]}\widehat{G}^{[1]}]. \quad (39b)$$

Используя (39), запишем формулу (12) в следующем виде:

$$M_{3,0}^{[1]} = [D_2(\Delta_1 - \Delta_2) - bE_{1,1}^{[1]*}](\varepsilon_s^{[0]})^2 + [b(E_{1,1}^{[1]**} + E_{1,2}^{[1]*}) - D_2h(\Delta_1 + \Delta_2)]\varepsilon_s^{[0]}\psi^{[0]} + [D_2\frac{h^2}{4}(\Delta_1 - \Delta_2) - bE_{1,2}^{[1]**}](\psi^{[0]})^2. \quad (40)$$

Удерживая в (40) величины до второго порядка малости относительно  $\alpha$  и  $\beta$  включительно, получаем

$$M_{3,0}^{[1]} = A\alpha^2 + B\alpha\beta + C\beta^2, \quad A = [D_2(\Delta_1 - \Delta_2) - bE_{1,1}^{[1]*}]E_{s,2}^2, \\ B = [b(E_{1,1}^{[1]**} + E_{1,2}^{[1]*}) - D_2h(\Delta_1 + \Delta_2)]E_{s,2}\bar{\psi}^{[0]}/l, \quad (41) \\ C = [D_2\frac{h^2}{4}(\Delta_1 - \Delta_2) - bE_{1,2}^{[1]**}](\bar{\psi}^{[0]})^2/l^2.$$

Из (33) и (34) следует, что коэффициенты  $A$ ,  $B$  и  $C$  на участке  $a$  могут быть представлены так

$$A_a = A_{1,a} + A_{2,a}(\bar{\psi}^{[0]})^{-2}, \quad B_a = B_{1,a} + B_{2,a}(\bar{\psi}^{[0]})^{-2}, \quad C_a = C_{1,a} + \\ + C_{2,a}(\bar{\psi}^{[0]})^{-2}, \quad A_{1,a} = [D_2(\Delta_{1,a} - \Delta_{2,a}) - bE_{1,1,a,1}^{[1]*}]E_2^2, \\ A_{2,a} = -bE_{1,1,a,2}^{[1]*}\bar{\psi}^{[0]}(\zeta_n)^2 E_2^2, \quad B_{1,a} = [-D_2h(\Delta_{1,a} + \Delta_{2,a}) + \\ + b(E_{1,1,a,1}^{[1]**} + E_{1,2,a,1}^{[1]*})]\frac{E_2}{l}, \quad B_{2,a} = b(E_{1,1,a,2}^{[1]**} + \\ + E_{1,2,a,2}^{[1]*})\bar{\psi}^{[0]}(\zeta_n)^3 \operatorname{sgn}(\alpha\beta)\frac{E_2}{l}, \quad C_{1,a} = [D_2\frac{h^2}{4}(\Delta_{1,a} - \Delta_{2,a}) - \\ - bE_{1,2,a,1}^{[1]**}]\frac{1}{l^2}, \quad C_{2,a} = -bE_{1,2,a,2}^{[1]**}\bar{\psi}^{[0]}(\zeta_n)^4\frac{1}{l^2}. \quad (42)$$

Из (32) и (36) получаем следующие значения  $A$ ,  $B$  и  $C$  на участке  $b$ :

$$A_b = 0, \quad B_b = B_{1,b}\bar{\psi}^{[0]}, \quad C_b = 0, \quad (43) \\ B_{1,b} = [-2D_2\Delta_b + b(E_{1,1,b}^{[1]**} + E_{1,2,b}^{[1]*})]E_2/l.$$



Анализируя выражения (42) и (43), а также формулы для величин, фигурирующих в них, можно прийти к следующим выводам:

при перемене знака  $\beta$  величины коэффициентов  $A$ ,  $B$  и  $C$  остаются неизменными, но  $A$  и  $C$  меняют знак. Поэтому эти коэффициенты могут представлены так:

$$A = A^+ \operatorname{sgn}(\beta), \quad C = C^+ \operatorname{sgn}(\beta), \quad (44)$$

где  $A^+$  и  $C^+$  вычислены при положительных значениях  $\beta$ .

Аналогично решению уравнения (2) будем решать уравнение (11) методом последовательных приближений по следующей схеме:

$$\frac{d^2 \varphi_{n+1}^{[1]}}{ds^2} = \frac{1}{l^2} (\alpha + \beta \varphi^{[0]}) \varphi_n^{[1]} - \frac{l}{H} \frac{dM_{3,0}^{[1]}}{ds}. \quad (45)$$

Полагая  $\varphi_0^{[1]} = 0$  и дважды интегрируя по  $s$ , находим

$$\varphi_1^{[1]} = -\frac{1}{H} [M_{3,0}^{[1]}]^\# + c_0 s + c_1. \quad (46)$$

Знак # здесь означает следующее:

$$[f]^\# = \int_0^s f(\tau) d\tau \quad (47)$$

(аргумент  $s$  функции  $[f]^\#$  в дальнейшем указывать не будем, за исключением случаев, когда этот аргумент принимает конкретное значение).

В дальнейшем ограничимся первым приближением, поэтому нижний индекс 1 у  $\varphi_1^{[1]}$  опустим.

Из граничного условия  $\varphi^{[1]}(0) = 0$  следует, что  $c_1 = 0$ . Значение  $c_0$  определяется из второго граничного условия

$$\frac{d\varphi^{[1]}}{ds}(l) = -\frac{1}{H} M_{3,0}^{[1]}(l) + c_0 l = 0. \quad (48)$$

Учитывая, что  $\bar{\psi}^{[0]}(l) = 0$ , получаем из (46)

$$c_0 = A / Hl. \quad (49)$$

Будем полагать, что  $|\beta| < R_0$  (вычисления показали, что в противном случае в балке возникают деформации, выходящие за пределы восходящих ветвей диаграмм растяжения и сжатия). Тогда в балке обязательно будет присутствовать участок  $b$ . В соответствии с (43)  $c_0 = 0$  и (46) с учетом (41) принимает следующий вид:

$$\varphi^{[1]} = -\frac{1}{H} ([A]^\# \alpha^2 + [B]^\# \alpha\beta + [C]^\# \beta^2). \quad (50)$$

Используя (42) получаем при  $s < s_n$  (т.е. когда сечение находится на участке  $a$ )



$$\begin{aligned}
[A_a]^\# &= A_{1,a}s + A_{2,a}[(\bar{\Psi}^{[0]})^{-2}]^\#, \\
[B_a]^\# &= B_{1,a}[\bar{\Psi}^{[0]}]^\# + B_{2,a} \operatorname{sgn}(\alpha\beta)[(\bar{\Psi}^{[0]})^{-2}]^\#, \\
[C_a]^\# &= C_{1,a}[(\bar{\Psi}^{[0]})^2]^\# + C_{2,a}[(\bar{\Psi}^{[0]})^{-2}]^\#.
\end{aligned} \tag{51}$$

Интегрируя по  $s$ , находим

$$\begin{aligned}
[A_a]^\# &= A_{1,a}f_1(\zeta) + A_{2,a}f_2(\zeta), \quad [B_a]^\# = B_{1,a}f_3(\zeta) + B_{2,a}f_2(\zeta), \\
[C_a]^\# &= C_{1,a}f_4(\zeta) + C_{2,a}f_2(\zeta), \\
f_1(\zeta) &= \zeta, \quad f_2(\zeta) = \zeta / [(1 - \frac{\alpha}{3})(1 - \frac{\alpha}{3} - \zeta)], \quad f_3(\zeta) = (1 - \frac{\alpha}{3})\zeta - \frac{\zeta^2}{2}, \\
f_4(\zeta) &= (1 - \frac{\alpha}{3})^2 \zeta - (1 - \frac{\alpha}{3})\zeta^2 + \frac{\zeta^3}{3}.
\end{aligned} \tag{52}$$

При  $s \geq s_n$  (т.е. когда сечение находится на участке  $b$ ) из (43) следует

$$\begin{aligned}
[A]^\# &= [A_a]^\#(s_n), \quad [B]^\# = [B_a]^\#(s_n) + B_{1,b} \int_{s_n}^s \bar{\Psi}(\tau) d\tau = \\
&= [B_a]^\#(s_n) + B_{1,b}f_5(\zeta), \quad [C]^\# = [C_a]^\#(s_n), \\
f_5(\zeta) &= (1 - \frac{\alpha}{3})(\zeta - \zeta_n) - \frac{1}{2}(\zeta^2 - \zeta_n^2).
\end{aligned} \tag{53}$$

Здесь  $[f(s)]^\#(s_n) = \int_0^{s_n} f(\tau) d\tau$ .

Из (50) – (53) следует, что  $\Phi^{[1]}(s)$  имеет на отрезках  $[0, s_n]$  (участок  $a$ ) и  $[s_n, l]$  (участок  $b$ ) разные аналитические выражения  $\Phi_a^{[1]}(s)$  и  $\Phi_b^{[1]}(s)$ , а следовательно, различные разложения в степенные ряды:

$$\Phi_a^{[1]} = \sum_{k=1}^{\infty} \Phi_{1,a,k}^{[1]} s^k, \quad \Phi_b^{[1]} = \sum_{k=1}^{\infty} \Phi_{1,b,k}^{[1]} s^k, \tag{54}$$

причем, согласно (50) коэффициенты этих разложений могут быть представлены в следующем виде:

$$\Phi_{1,k}^{[1]} = \Phi_{1,k,1}^{[1]} \alpha^2 + \Phi_{1,k,2}^{[1]} \alpha\beta + \Phi_{1,k,3}^{[1]} \beta^2, \tag{55}$$

где  $\Phi_{1,k}^{[1]} = \Phi_{1,a,k}^{[1]}$ ,  $\Phi_{1,k,j}^{[1]} = \Phi_{1,a,k,j}^{[1]}$  на участке  $a$  и  $\Phi_{1,k}^{[1]} = \Phi_{1,b,k}^{[1]}$ ,  $\Phi_{1,k,j}^{[1]} = \Phi_{1,b,k,j}^{[1]}$  на участке  $b$  ( $j = 1, 2, 3$ ).

Из (1), (9) и (10) следует, что



$$\begin{aligned}\Phi_{1,1} &= \frac{\beta}{l} \left(1 - \frac{\alpha}{3}\right) + \Phi_{1,1}^{[1]}, \quad \Phi_{1,2} = -\frac{\beta}{2l^2} + \Phi_{1,2}^{[1]}, \\ \Phi_{1,3} &= \frac{\alpha\beta}{6l^3} + \Phi_{1,3}^{[1]}, \quad \Phi_{1,4} = -\frac{\alpha\beta}{24l^4} + \Phi_{1,4}^{[1]}.\end{aligned}\tag{56}$$

Здесь  $\Phi_{1,k}$  – коэффициенты разложения

$$\varphi = \sum_{k=1}^{\infty} \Phi_{1,k} s^k.\tag{57}$$

Возводя (57) в квадрат и удерживая слагаемые, содержащие степени  $\alpha$  и  $\beta$  до второй включительно, получаем

$$\begin{aligned}\Phi_{2,1} &= 0, \quad \Phi_{2,2} = \Phi_{1,1}^2 = \frac{\beta^2}{l^2}, \quad \Phi_{2,3} = 2\Phi_{1,1}\Phi_{1,2} = -\frac{\beta^2}{2l^3}, \\ \Phi_{2,4} &= 2\Phi_{1,1}\Phi_{1,3} + \Phi_{1,2}^2 = \frac{\beta^2}{4l^4}.\end{aligned}\tag{58}$$

В (58) представлены первые четыре члена разложения

$$\varphi^2 = \sum_{k=1}^{\infty} \Phi_{2,k} s^k.\tag{59}$$

При малых продольных деформациях оси балки имеют место следующие соотношения [2]:

$$v'(s) = \sin \varphi, \quad u'(s) = \cos \varphi - 1\tag{60}$$

( $v(s)$  – вертикальное перемещение точки оси балки,  $u(s)$  – горизонтальное).

Учитывая малость  $\varphi$ , находим из (60)

$$v(s) = [\varphi]^\#, \quad u(s) = -\frac{1}{2}[\varphi^2]^\#\tag{61}$$

(по поводу обозначений см. (47)).

Тогда

$$\begin{aligned}v(s) &= \frac{\beta}{2l} \left(1 - \frac{\alpha}{3}\right) s^2 - \frac{\beta}{6l^2} s^3 + \frac{\alpha\beta}{24l^3} s^4 - \frac{\alpha\beta}{120l^4} s^5 + [\varphi^{[1]}]^\#, \\ u(s) &= -\frac{\beta^2}{2} \left(\frac{s^3}{3} - \frac{s^4}{8} + \frac{s^5}{25}\right).\end{aligned}\tag{62}$$

Из (50) получаем

$$[\varphi^{[1]}]^\# = -\frac{1}{H} ([A]^{##} \alpha^2 + [B]^{##} \alpha\beta + [C]^{##} \beta^2).\tag{63}$$

Используя (52) находим для  $s \leq s_n$



$$\begin{aligned}
[A_a]^{##} &= A_{1,a} l^2 g_1(\zeta) + A_{2,a} \left( \frac{1-\alpha/3-\zeta_n}{R_0} \right)^2 l^2 g_2(\zeta), \\
[B_a]^{##} &= B_{1,a} l^2 g_3(\zeta) + B_{2,a} \left( \frac{1-\alpha/3-\zeta_n}{R_0} \right)^3 l^2 g_2(\zeta), \\
[C_a]^{##} &= C_{1,a} l^2 g_4(\zeta) + C_{2,a} \left( \frac{1-\alpha/3-\zeta_n}{R_0} \right)^4 l^2 g_2(\zeta),
\end{aligned} \tag{64}$$

$$g_1(\zeta) = \frac{\zeta^2}{2}, \quad g_2(\zeta) = \ln \frac{1-\alpha/3}{1-\alpha/3-\zeta} - \frac{\zeta}{1-\alpha/3}, \quad g_3(\zeta) = \left(1 - \frac{\alpha}{3}\right) \frac{\zeta^2}{2} - \frac{\zeta^3}{6},$$

$$g_4(\zeta) = \left(1 - \frac{\alpha}{3}\right)^2 \frac{\zeta^2}{2} - \left(1 - \frac{\alpha}{3}\right) \frac{\zeta^3}{3} + \frac{\zeta^4}{12}.$$

При  $s > s_n$  имеем из (53)

$$\begin{aligned}
[A]^{##} &= [A_a]^{##}(s_n) + [A_a]^\#(s_n) \cdot (s - s_n), \\
[B]^{##} &= [B_a]^{##}(s_n) + [B_a]^\#(s_n) \cdot (s - s_n) + B_{1,b} l^2 g_5(\zeta), \\
[C]^{##} &= [C_a]^{##}(s_n) + [C_a]^\#(s_n) \cdot (s - s_n),
\end{aligned} \tag{65}$$

$$g_5(\zeta) = \frac{1}{2} \left[ (1-\alpha/3-\zeta_n)^2 (\zeta - \zeta_n) + \frac{(1-\alpha/3-\zeta)^3 - (1-\alpha/3-\zeta_n)^3}{3} \right].$$

Введем обозначения

$$\eta = v(l)/l, \quad \xi = u(l)/l. \tag{66}$$

Тогда

$$\eta = \frac{\beta}{3} - \frac{2}{15} \alpha \beta + \frac{1}{l} [\varphi^{[1]}]^\#(l), \quad \xi = -\frac{37}{80} \beta^2. \tag{67}$$

### Пример.

Поперечное сечение балки, длина которой 6 м, представляет собой квадрат со стороной 0.4 м. Размер  $h_1 = 0.18$  м (рис.2). Армирование симметричное – шесть стержней диаметром 2 см. Арматура класса А-III с модулем упругости  $E_a = 2 \cdot 10^5$  МПа и модулем сдвига  $G_a = 0,8 \cdot 10^5$  МПа. Бетон марки В35: начальный модуль упругости  $E^{[0]} = 34,5 \cdot 10^3$  МПа, начальный коэффициент Пуассона  $\nu = 0,2$ , расчетные сопротивления бетона: на сжатие  $R_{b,ser} = 25,5$  МПа, на растяжение  $R_{bt,ser} = 1,95$  МПа. В соответствии с (2а)  $H = 88,904 \cdot 10^6$  нм<sup>2</sup>. Аппроксимируя восходящую ветвь кривой  $\sigma_0 = \sigma_0(\varepsilon_0)$  на отрезке  $[0, \hat{\varepsilon}_0/2]$  ( $\hat{\varepsilon}_0$  соответствует наивысшей точке диаграммы) функцией  $\sigma_0 = (K^{[0]} + \hat{K}^{[1]} \varepsilon_0) \varepsilon_0$ , получаем в случае одноосного сжатия в соответствии с [3]  $\hat{K}^{[1]-} = 3,767 \cdot 10^6$  МПа, в случае растяжения  $\hat{K}^{[1]+} = -1,574 \cdot 10^7$  МПа. Анало-



гично для модуля сдвига находим  $\hat{G}^{[1]-} = -4,786 \cdot 10^6 \text{ МПа}$ ,  $\hat{G}^{[1]+} = -3,883 \cdot 10^7 \text{ МПа}$ .

На рис.4 приведены графики зависимости относительного прогиба

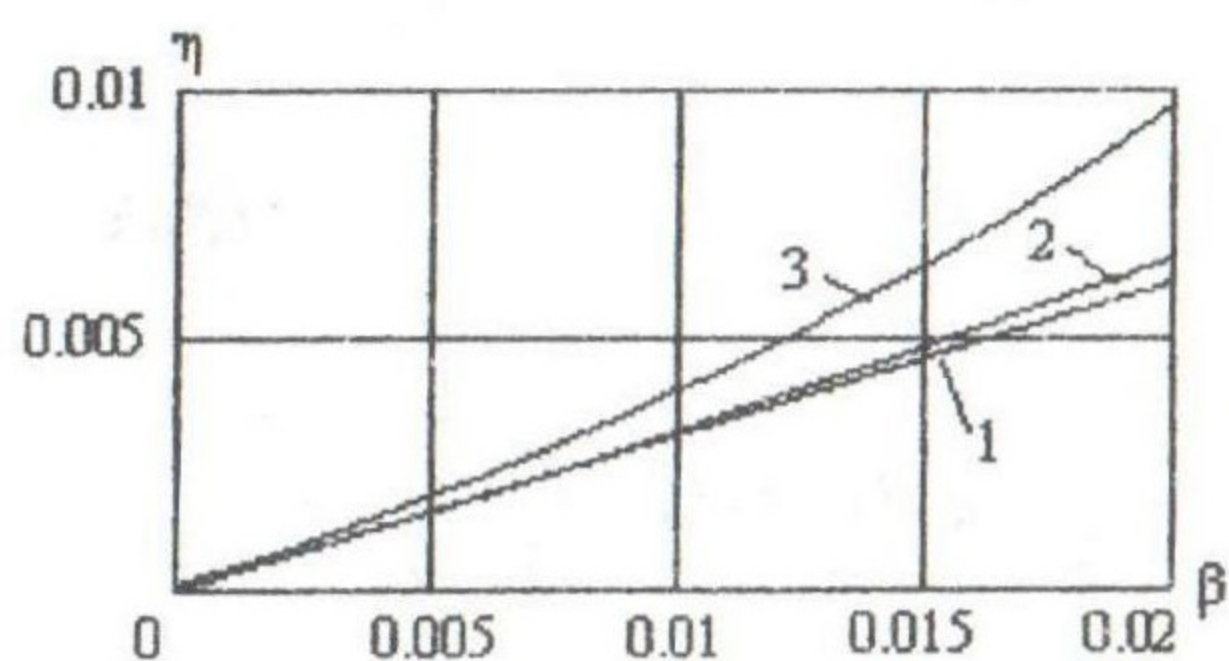


Рис.4

$\eta$  на конце консоли от  $\beta$  (т.е. от  $F_2$ ) без учета нелинейности (кривая 1), при учете геометрической нелинейности (кривая 2) и при учете физической нелинейности (кривая 3) в пределах  $0 \leq \beta \leq 0,02$  ( $0 \leq F_2 \leq 24 \text{ кН}$ ) при  $\alpha = -0,1$  ( $F_1 = -247 \text{ кН}$ ).

Из рисунка видно, что учет физической нелинейности приводит к существенному увеличению

прогиба ( при  $\beta = 0,02$  в 1,37 раза).

### Вывод

Определение прогибов железобетонных балок без учета физической нелинейности бетона приводит к значительному их занижению.

### Литература

1. Фомин В.М. Уравнения плоского изгиба стержней с учетом физической и геометрической нелинейностей // Вестник ОГАСА. Вып. 24, – Одесса, 2006. – с. 273 – 287.
2. Черных К.Ф. Нелинейная теория упругости в машиностроительных расчетах. – Л.: Машиностроение, 1986.– 336 с.
3. Фомин В.М., Фомина И.П. Определение секущих объемных модулей упругости и сдвига для бетона // Вестник ОГАСА. Вып. 26, – Одесса, 2007. – с. 301 – 306.